

Extraction du solvant d'un hydrogel par des gouttes de bactéries *B. subtilis*

Marc Hennes, Julien Tailleur, Gaëlle Charron, and Adrian Daerr
*Laboratoire Matière et Systèmes Complexes (MSC) UMR CNRS 7057,
University Paris Diderot, 75205 Paris cedex 13, France*

Nous observons que de petites gouttes de suspension de la bactérie *B. subtilis*, déposées sur un gel d'agar, décuplent leur volume en une dizaine d'heures, alors que le volume de gouttes sans bactérie reste inchangé. L'augmentation de la biomasse due à la croissance des bactéries est trop faible pour expliquer le gonflement constaté des gouttes, comme le prouve une mesure directe de la concentration bactérienne au cours de l'expérience et à plusieurs hauteurs au sein de la goutte. Nous montrons que le gonflement est provoqué par la présence d'un surfactant produit par les bactéries, la *surfactine*, lequel induit un pompage d'eau de l'environnement vers la goutte par un effet osmotique capillaire. La concentration requise est très faible (< 1 mM), environ quatre ordres de grandeur plus faible par exemple que la concentration de glucose produisant le même gonflement. Cette capacité de *B. subtilis* à extraire de l'eau de l'environnement contribue probablement à certains modes de migration collective comme le *mass swarming*. Elle donne également lieu à un mode de déplacement original, indépendant de la motilité cellulaire: en associant les effets osmotiques et de mouillage du surfactant, *B. subtilis* parvient à faire activement glisser la colonie sur des substrats inclinés d'à peine quelques dixièmes de degrés.

Introduction

Les micro-organismes ont développé d'innombrables mécanismes pour faciliter leur prolifération [1] et la colonisation de nouveaux environnements [2–4]. La raison est sans doute à chercher dans la complexité et la variabilité spatiale et temporelle de leur environnement. Que ce soit dans un intestin ou dans le sol, les bactéries se déplacent dans un mélange de phases solide, liquide et de gaz et leur motilité dépendra grandement de l'interaction avec les nombreuses surfaces et d'interfaces présentes. À côté de cette complexité, les études en laboratoire de la motilité de bactéries se limitent à peu d'environnements simples et artificiels. En dehors de la nage en milieu liquide [5], on ne trouve presque que des études à la surface d'hydrogels. Il est donc important de comprendre les mécanismes physiques en jeu pour pouvoir se prononcer sur l'importance d'une expérience de laboratoire dans un contexte plus complexe.

Ici, nous décrivons pour la première fois un mécanisme physico-chimique par lequel la bactérie *Bacillus subtilis*, piégée dans une petite goutte déposée sur la surface de l'hydrogel Agar, est capable d'extraire une quantité importante de solvant, multipliant ainsi le volume de la goutte jusqu'à atteindre 15 fois le volume initial. Ce gonflement est proportionnel à la concentration initiale de bactéries au sein de la goutte, mais est absolument indépendant de leur capacité à s'auto-propulser. Bien qu'on puisse s'interroger sur la contribution de la division des bactéries à une certaine augmentation du volume, nous montrons que dans les conditions expérimentales présentes, cet effet est négligeable et le gonflement s'explique par la production d'un tensio-actif sécrété par les bactéries, la *surfactine*. Pour des gouttes de bactéries mutantes incapables de produire ce surfactant, aucun gain n'est visible. Le taux de gonflement dépend fortement des conditions expérimentales et de la préparation du gel, où l'humidité à disposition dans l'entourage agit comme facteur limitant. Grâce à des mesures de

chromatographie liquide à haute performance, nous montrons que la concentration molaire de surfactine dans les gouttes est cent à mille fois plus faible que la concentration d'autres espèces moléculaires, ce qui soulève la question de ce qui rend la surfactine si efficace pour le pompage osmotique. Nous terminons par une discussion de l'importance de ce mécanisme pour les modes migratoires de *B. subtilis*.

Résultats

Description du gonflement de goutte Une goutte de $2 \mu\text{L}$ provenant d'une culture liquide de *B. subtilis* (densité optique $\text{OD} \approx 0.27$, souche OMG 930 [6]) est déposée à la surface d'un gel d'Agar à 0.7% contenant des nutriments (milieu synthétique B), séché brièvement (2 min) et incubé dans une chambre climatique à température et humidité fixe ($T = 30^\circ \text{C}$, $\text{RH} = 70\%$). Pendant la première heure, un léger étalement radial est visible [7, 8], typique pour une solution aqueuse de surfactant — comportement attendu car notre souche *B. subtilis* produit de la *surfactine*, un lipopeptide cyclique amphiphile [9, 10]. Le volume de la goutte¹ augmente dès le moment du dépôt, de manière monotone et atteint une valeur maximale de sept à huit fois le volume initial après ≈ 350 min (Fig. 1 (a)). En variant la concentration initiale de bactéries (OD pour *optical density*) jusqu'à la concentration de saturation de croissance des bactéries $\text{OD} \approx 1.5$, le gonflement peut atteindre une valeur de $15 V_i$. Si les bactéries sont enlevées de la solution par centrifugation et filtrage, et que seul le surnageant SN est déposé sur le gel, on mesure une augmentation plus faible du volume de la goutte $V_{\text{max}}^{\text{SN}} \approx 3V_i$.

Quand le temps de séchage du gel est augmenté (de 1 min à 30 min), l'effet de pompage est affaibli et la

¹ Le volume est mesuré grâce à une méthode de profilométrie de projection de Moiré [8].

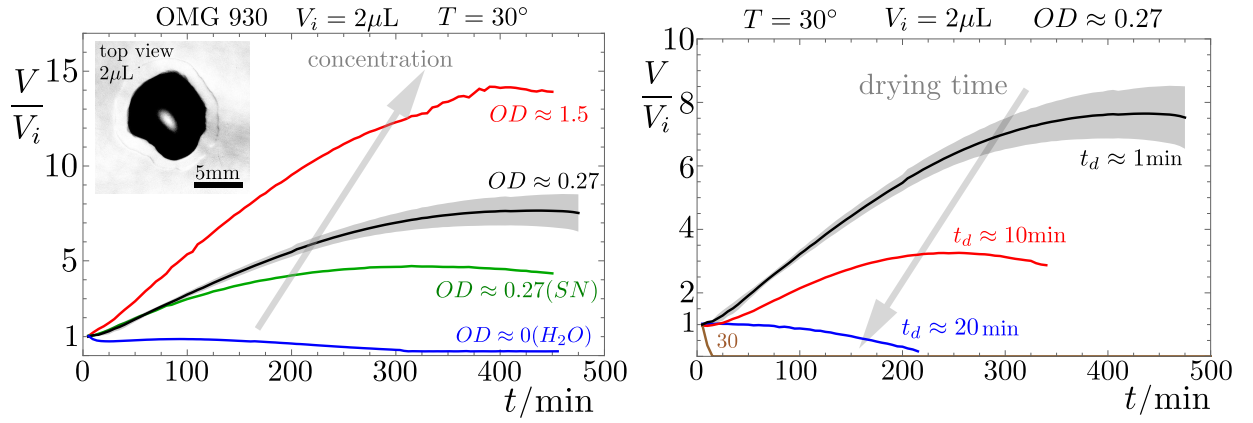


FIG. 1. (a) Le volume total de gonflement est une fonction de la concentration initiale (OD) de bactéries dans la goutte. Aucun gonflement n'est observable pour des gouttes d'eau pure ou de milieu nutritif B ($OD = 0$). (b) Le gonflement diminue et disparaît entièrement si le gel est séché plus longtemps à l'air libre avant l'expérience.

quantité de solvant extrait diminue (Fig. 1 (b)). Sur un gel séché pendant $t_{\text{sec}} = 30$ min, une goutte de bactérie ($OD \approx 0.27$) ne gonfle plus du tout. Ceci s'explique par le fait qu'un tel gel a perdu environ $100 V_i$ d'eau par évaporation et n'est donc plus à l'équilibre: le réseau de polymères devrait être en compression et la pression dans la phase liquide négative. Pour des gouttes d'eau ou de milieu nutritif B, une augmentation du volume n'est jamais observée, et un taux d'évaporation faible dans les coupelles, plus petit que le taux d'évaporation de séchage, fait lentement disparaître ces gouttes.

L'autopropulsion et la biomasse n'influencent pas le gonflement Le gonflement étant absent pour des gouttes d'eau ou de nutriments, la présence des bactéries est nécessaire pour une augmentation continue du volume de la goutte. Pour vérifier une éventuelle contribution de la motilité individuelle, cruciale pour le mode de migration de *swarming* [3, 6, 11], nous comparons les courbes de volume pour des souches motiles (OMG 930) et non motiles (OMG 954 [11]) (cf. Fig. 2(a)). La deuxième souche ne se distingue génétiquement de la première que par l'absence d'un gène qui la rend incapable d'exprimer la protéine *flagelline* nécessaire au développement des flagelles. Pour différentes concentrations initiales ($OD = 0.27$ et $OD = 1.5$) nous observons que les courbes de volume, à nouveau mesurées sur 500 min, ne diffèrent pas significativement d'une souche à l'autre, montrant ainsi que la motilité ne joue aucun rôle dans le mécanisme d'accroissement de volume.

Une explication serait alors que l'amas de bactéries par division cellulaire est responsable de l'augmentation en volume. En conditions idéales ($T \approx 40^\circ$ C, milieu LB riche en nutriments), le temps de division peut être de 30 minutes [12] ou moins, obtenant ainsi 14 à 15 cycles de répllication pendant le temps de gonflement ($t \approx 400$ min) d'une goutte. Le nombre absolu de bactéries augmenterait d'un facteur 2^{15} , correspondant à un volume final de $3.5 V_i$ [13]. Pour déterminer la contribution biomassique au gonflement, nous enreg-

istrons la goutte à fort grossissement ($40\times$, Fig. 2(b), haut) pendant 400 min à différentes hauteurs et calculons le pourcentage surfacique et volumique à travers la goutte. Nous trouvons que ce pourcentage volumique après 7 heures ne dépasse jamais 2% au sein de la goutte et 8% proche de la ligne de contact de bord². De plus, nous mesurons directement la concentration bactérienne en solution liquide dans le milieu nutritif minimal B à 30° C. Ici, nous déterminons un temps de doublement de 90 à 120 minutes (Fig. 2(b)), donnant ainsi 4 cycles de croissance en 400 min et un volume final de bactéries de $N \times V_{\text{Bact}} \ll V_i$ largement inférieur au volume initial de la goutte.

Détermination et quantification de la surfactine comme agent principal Le comportement de la souche OMG 168 de *B. subtilis*, qui ne produit pas de surfactine [14], permet d'identifier ce surfactant comme premier responsable du mécanisme de pompage: dans le cas de gouttes de OMG 168, les courbes de volume ne montrent aucun gonflement et se rapprochent des courbes d'eau pure ou de solution de nutriment B (cf. Fig. 3(a)). Nous nous attendons donc à ce que des gouttes de surfactine pure (surfactine de *B. subtilis*, 98% pure, Sigma-Aldrich) affichent une croissance de volume similaire aux gouttes de bactéries produisant de la surfactine. Effectivement, nous observons pour de telles gouttes un gonflement de magnitude proche des gouttes bactériennes pour des concentrations entre 0.1 g/L et 0.5 g/L. Ici, une goutte de surfactine se comporte comme une goutte de surnageant: dans les premières 100 à 150 minutes, le gain en volume est proche de celui d'une goutte de bactéries, puis s'atténue lentement pour atteindre une valeur 3 à 4 fois au-dessus du volume initial. Afin

² Un pourcentage plus élevé proche de la ligne triple/ligne de contact de la goutte est probablement dû aux flux convectionnels d'évaporation dans la goutte, entraînant les bactéries vers son bord.

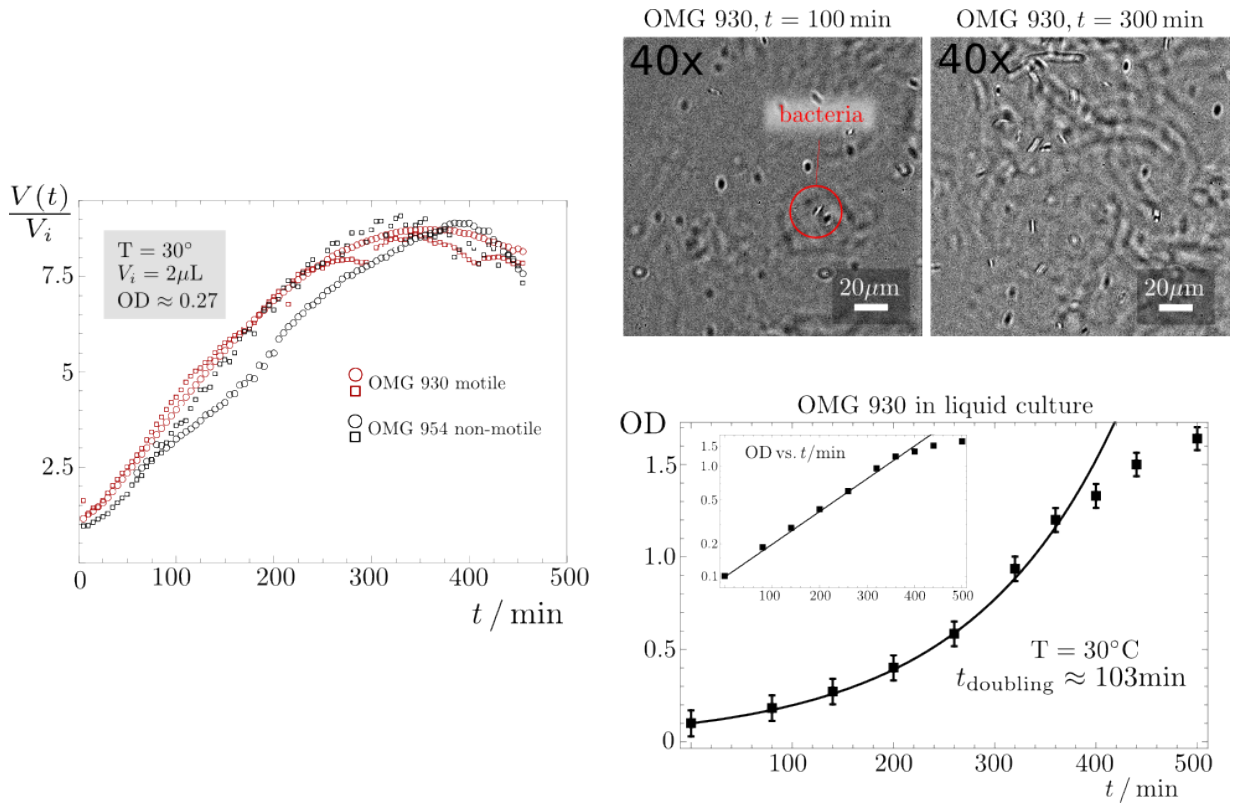


FIG. 2. (a) La motilité bactérielle, évaluée entre la souche OMG 930 motile et la souche OMG 954 non motile, n’influence pas l’accroissement du volume durant les 500 minutes de l’expérience. (b) L’enregistrement des gouttes bactérielles au microscope optique à fort grossissement montre que le pourcentage surfacique des bactéries est très faible. L’augmentation de la biomasse (avec un temps de doublage de 103 min à 30°C dans un milieu liquide B, en bas) n’explique donc pas le gonflement des gouttes.

de vérifier si la quantité de surfactine produite par les bactéries est dans la plage de concentrations dans laquelle les gouttes de surfactines gonflent, nous l’avons quantifié par HPLC (*high precision liquid profilometry*). Cette méthode spectrographique permet d’identifier et de mesurer les pics d’absorption caractéristiques d’une molécule pour remonter à sa concentration (dans un premier temps en unités arbitraires AU). Un étalonnage par des gouttes de concentration connue est nécessaire pour calculer une concentration absolue. La figure 3 (b) montre que la concentration de surfactine dans la goutte bactérienne est initialement proche de 0.1 g/L pour une $\text{OD} \approx 0.27$ et de 0.25 g/L pour une $\text{OD} \approx 1.5$, avec une marge d’erreur de 0.05 g/L.

Une concentration autour de 0.3 g/L dans les gouttes de bactéries correspond à une concentration molaire de 0.3 mM, largement en dessous de la concentration molaire de 5 M nécessaire pour induire un effet de gonflement comparable avec des gouttes de glucose (50%) déposées sur le même gel (la molécule de glucose est environ cinq fois plus petite que la molécule de surfactine). Un simple gradient de concentration — entre la goutte contenant de la surfactine et le gel agar n’en contenant pas — avec l’interface gel-eau agissant comme une membrane semi-perméable ne semble pas suffire pour expliquer le mécanisme de pompage car

dans ce cas la théorie prédit que la pression osmotique ne dépend que marginalement de l’espèce chimique et principalement de sa concentration molaire. Il est possible que le pompage fasse intervenir une interaction spécifique entre les molécules de surfactine et la matrice de gel d’agar, capable de libérer le solvant et d’induire un accroissement du volume de gouttes déposées en surface. Une observation qui va dans le sens d’une telle interaction est que quand la surfactine ou les bactéries en produisant sont ajoutées directement au gel, celui-ci, soit ne se solidifie plus, soit se liquéfie après quelque temps.

Discussion

Dans cet article, nous avons étudié un nouveau mécanisme physico-chimique permettant à des gouttes de bactéries en milieu partiellement humide de croître en volume. Parmi les divers molécules produites et exportées par les bactéries, nous avons identifié la surfactine, un tensio-actif puissant, comme étant responsable de cet effet. Nous pensons que ce mécanisme peut avoir un rôle immense pour *B. subtilis* dans son environnement naturel comme les sols non saturés [18], d’une part en lui permettant en cas de sécheresse d’extraire de l’eau de l’environnement, et d’autre part en lui permettant de mieux migrer. Vitesses et distances de migra-

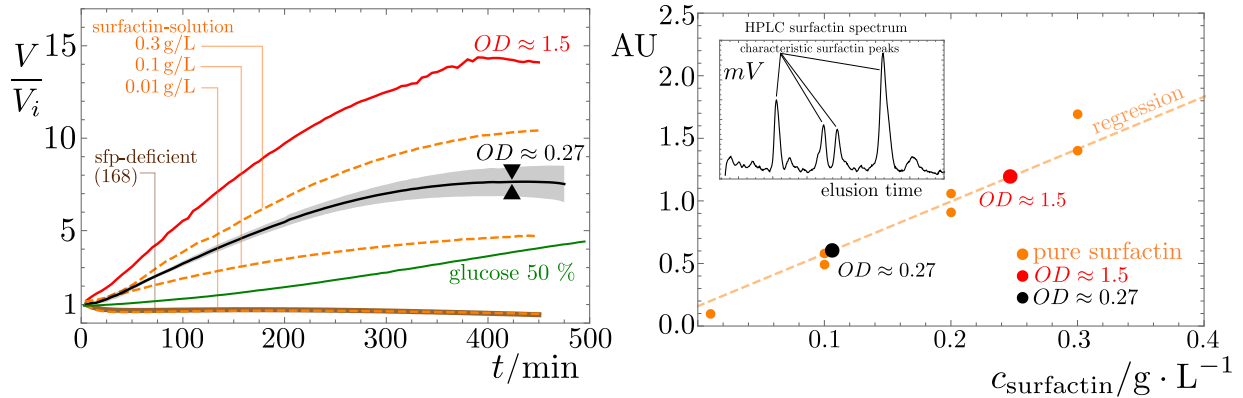


FIG. 3. (a) Des gouttes de surfactine pure d'une concentration entre 0.1 et 0.5 g/L (0.1–0.5 mM pour une masse molaire de 1030 g/mol) affichent un gonflement similaire aux gouttes de bactéries d'une OD de 0.27. Une augmentation de volume est observable pour des gouttes de glucose (50%) à une concentration molaires dix mille fois plus grande (5 M). (b) La concentration en surfactine des gouttes de bactéries est estimée à 0.1–0.3 g/L par spectrométrie HPLC. La concentration est obtenue en calculant la superficie en unités arbitraires (AU) des pics caractéristiques d'absorption de la surfactine dans le spectre.

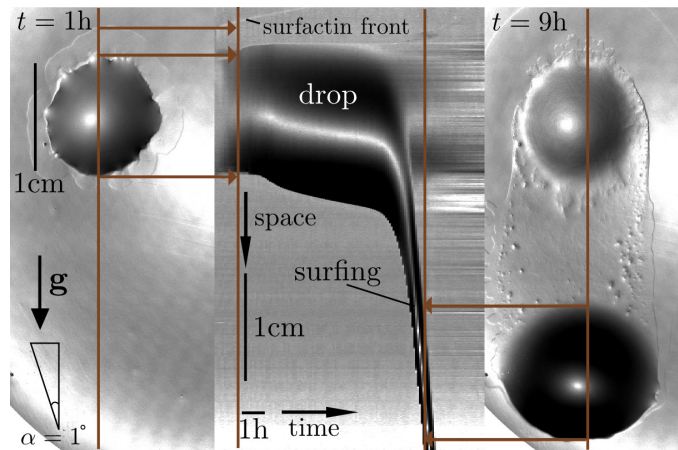


FIG. 4. Pour une goutte de bactéries (OD = 0.27, $V_i = 2 \mu\text{L}$) déposée sur un gel d'agar légèrement incliné (1°), l'accroissement du volume en combinaison avec les propriétés tensio-actifs de la surfactine permet à celle-ci de dévaler le plan 7 à 8 heures après dépôt.

tion sont susceptibles d'augmenter avec la quantité d'eau disponible, que ce soit dans les milieux poreux [19] ou à la surface d'un substrat comme l'agar [15–17]. Pour les gouttelettes étudiées ici, le volume gagné augmente la traction gravitationnelle par rapport au forces capil-

laires et permet de franchir le seuil d'étalement ou de dévalement sur des substrats non horizontaux. Sur des gels d'agar, les gouttes de bactéries glissent ainsi sur des pentes de l'ordre du degré (cf. Fig. 4), quand des gouttes d'eau de même volume initial restent accrochées même à la verticale, piégées par les forces capillaires.

- [1] L. HALL-STOODLEY, J. WILLIAM COSTERTON & P. STOODLEY, Bacterial biofilms: from the natural environment to infectious diseases, *Nature Rev. Microbiol.*, **2**, 95–108 (2004).
- [2] E. BEN-JACOB et al., Generic modelling of cooperative growth patterns in bacterial colonies, *Nature*, **368**, 46–49 (1994).
- [3] H. FUJIKAWA & M. MATSUSHITA, Fractal growth of

Bacillus subtilis on agar plates, *J. Phys. Soc. Jpn.*, **58**, 3875–3878 (1989).

- [4] R. M. HARSHEY, Bacterial motility on a surface: Many ways to a common goal, *Ann. Rev. Microbiol.*, **57**, 249–273 (2003).
- [5] I. TUVAL et al., Bacterial swimming and oxygen transport near contact lines, *Proc. Natl. Acad. Sci. U.S.A.*, **102**, 2277–2282 (2005).

- [6] K. HAMZE *et al.*, Single-cell analysis in situ in a *Bacillus subtilis* swarming community identifies distinct spatially separated subpopulations differentially expressing hag (flagellin), including specialized swimmers, *Microbiol.*, **157**, 2456–2469 (2011).
- [7] K. S. LEE *et al.*, Kinetics of wetting and spreading by aqueous surfactant solutions, *Adv. Colloid Interface Sci.*, **144**, 54–65 (2008).
- [8] M. BANAHA, A. DAERR & L. LIMAT, Spreading of liquid drops on agar gels, *Eur. Phys. J. Spec. Top.*, **166**, 185–188 (2009).
- [9] K. ARIMA, A. KAKINUMA & G. TAMURA, Surfactin, a crystalline peptidolipid surfactant produced by *Bacillus subtilis*: Isolation, characterization and its inhibition of fibrin clot formation, *Biochem. Biophys. Res. Commun.*, **31**, 488–494 (1968).
- [10] F. PEYPOUX, J. M. BONMATIN & J. WALLACH, Recent trends in the biochemistry of surfactin, *Appl. Microbiol. Biotechnol.*, **51**, 553–563 (1999).
- [11] K. HAMZE *et al.*, Identification of genes required for different stages of dendritic swarming in *Bacillus subtilis*, with a novel role for phrC, *Microbiol.*, **155**, 398–412 (2009).
- [12] G. REAL & A. O. HENRIQUES, Localization of the *Bacillus subtilis* murB Gene within the dcw Cluster is important for growth and sporulation, *J. Bacteriol.*, **188**, 1721–1732 (2006).
- [13] A. C. YU, J. F. LOO, S. K. KONG & T. F. CHAN, Monitoring bacterial growth using tunable resistive pulse sensing with a pore-based technique, *Appl. Microbiol. Biotechnol.*, **98**, 855–862 (2014).
- [14] E. LESUISSE, K. SCHANCK & C. COLSON, Purification and preliminary characterization of the extracellular lipase of *Bacillus subtilis* 168, an extremely basic pH-tolerant enzyme, *FEBS J.*, **216**, 155–160 (1993).
- [15] V. LECLÈRE *et al.*, The lipopeptides mycosubtilin and surfactin enhance spreading of *Bacillus subtilis* strains by their surface-active properties, *Arch. Microbiol.*, **186**, 475–483 (2006).
- [16] D. JULKOWSKA *et al.*, Comparative analysis of the development of swarming communities of *Bacillus subtilis* 168 and a natural wild type: Critical effects of surfactin and the composition of the medium, *J. Bacteriol.*, **187**, 65–76 (2005).
- [17] J. HENRICHSEN, Bacterial surface translocation: A survey and a classification, *Bacteriol. Rev.*, **36**, 478–503 (1972).
- [18] D. OR *et al.*, Physical constraints affecting bacterial habitats and activity in unsaturated porous media — A review, *Adv. Water Resour.*, **30**, 1505–1527 (2007).
- [19] Z. SADJADI & H. RIEGER, Scaling theory for spontaneous imbibition in random networks of elongated pores, *Phys. Rev. Lett.*, **110**, 144502 (2013).